

## تأثير اضاءة التشاكيه الجزئي لشق في تقييم تقنية صورة الحيوان

حامد محمود أمين\*

هيفاء عازري رشيد\*\*

استلام البحث 5، آذار، 2009  
قبول النشر 16، تموز، 2009

### الخلاصة :

تناول البحث دراسة الحل العام لحسابات الشدة في صور الشق المفرد في حالة الاضاءة المتشاكه جزئياً . اعتمدت الدراسة على نظرية هوبلنر الخاصة بتكوين الصور في الاجهزه البصرية بعد تعديلها . وفي هذه الحالة ينصب الاهتمام عملياً " بان اضاءة الجسم يمكن عدها ناتجة من مصدر ذاتي الاضاءة موضوع عند بؤبؤ الخروج للمكثف . وان توزيع الشدة في صورة الشق المفرد ذي العرض النصف (8 = u) وفتحة العدسة الدائرية . وقد تم اختيار ملائم لعامل التشاكيه (4.0 , 1.5 , 0.25 = s) لكي يناسب مختلف انواع المجاهر . وقد تم التقيد باستخدام المنظومات البصرية المحتوية على الابوريه وكذلك على الزيني الهالي من الرتبة الثالثة . واعتمدت طريقة كاووس لحل التكاملات وتم اختيار (20) نقطة كاووس وذلك اعتناماً على كمية الزيني وادى ذلك الى انخفاض زمن الحاسبة الى بضع ثوانٍ . وكانت نتائج النظام الخالي من الزيني مناظراً لمستوي الاستلام المحوري (W<sub>20</sub> = 0.0) وتبرز اهميته عند تعين شكل نمط الحيوان . اما تأثير الابوريه في الصورة فيظهر من خلال التموج الحالى في الشدة عند 10 < U في حالة التشاكيه التام (s = 0.25) . ولغرض دراسة تأثير الزيني الابورى فقد تم ادخال كمية من الزيني الهالي من الرتبة الثالثة (W<sub>31</sub> = -2/3λ) ودرست عند مختلف زوايا السمت [0, π/4, π/2] واتضح ان القمم العالية في

منحنيات الشدة تكون بارزة في حالة التشاكيه التام (s = 0.25) وعند ازيداد قيمة (S) من 0.25 الى 1.0 فقد ادى الى اعادة توزيع الشدة وتحرك القمم للمنحنيات من احد جوانب الصورة الى الجانب الاخر . وقد تم اجراء الحسابات لمنظومة البصرية المحتوية على الزيني الكروي (W<sub>40</sub> = 0.5λ) وكانت النتائج قريبة نوعاً ما الى نتائج المنظومة البصرية المحتوية على الابوريه وقد اهملت النتائج العددية والاشكال بسبب التشابه المذكور . استخدمت لغة فورتران (77) لبرمجة معادلة الشدة للباحث Hopkins بعد اجراء التحويلات الرياضية ولابعاد مختلفة الى (u) وتبرز اهمية هذه الدراسة في اعتنادها طريقة عددية لحل المعادلة التي اشتقت مما ادى الى اختزال وقت الحاسبة .

**الكلمات المفتاحية :** التشاكيه ، تأثير التشاكيه البصري ، معامل التشاكيه

### المقدمة :

الحيوان للمصادر النقطية نجاحاً محدوداً وجزء من هذه النتائج حصل عليها (Marechal [4] 1948) باستخدام التكامل العددي ان الدراسات النظرية التي قام بها كل من (Hopkins [5] و [6] 1955) و (De 1956) بشأن الخطأ البؤري والاستكمان thereof في العدسات الشبيهة للميكروскоп والاجهزه البصرية المماثلة مكنت الباحثين من الحصول وانتاج صور ذات نوعية جيدة لاجسام دقيقة التفاصيل موازية الى قدرة تحليل المنظومة البصرية (Limit of Resolution) . وان اول من قام بحساب الشدة في صورة مصدر نقطي والمتكونة نتيجة الشق هو العالم الفلكي (Airy) [7] ان اول البحوث التي حملت موضوع التشاكيه الجزئي ظهرت على يد العالم Verdet [8] اذ درس حجم منطقة التشاكيه للضوء من مصدر ضوئي اولي ممتد (Extended Primary Source) .. وهذه الطرائق بسطت كثيراً وطبقت لدراسة تكوين الصورة وقدرة التحليل

تكتسب دراسة الضوء المتشاكه جزئياً اهمية بالغة في التطبيقات البصرية المهمة ، اذ تدخل في بناء منظومات الهولوكافي [1] وكذلك دراسة الاضطرابات الموجودة في الغلاف الجوي [2] فضلاً عن دراسة تأثير درجة التشاكيه للشارات في الكفاءة البصرية للكاشف المتخصص النبضات الضعيفة [3] فضلاً عن ما ذكر فان المجالات التي يتم فيها تطبيق التشاكيه الجزئي هي الميكروскоп Microscopy ومقاييس الطيف Spectroscopy وتعيين الكثافة الدقيقة Microdensitometry . ان نظريتي الحيوان والزيني لا ينتمي نظريتي هما نظريتان متلازمتان و اذا اخذنا بالحسبان خواص تكوين الصورة بشيء من التفصيل فان الصورة المتكونة بالعدسة هي نسخة غير مطابقة للجسم وذلك بسبب الطبيعة الموجية للضوء والزيني والاخطراء التصنيعية والتجميعية ، اذ لاقت الدراسة التحليلية لتأثير الزيني في صور

\* كلية العلوم / جامعة بغداد

\*\* كلية التربية / الجامعة المستنصرية

\*\*\*جامعة التكنولوجية

$$0 \text{ for } x^2 + y^2 > S^2 \\ \text{اذ ان } B' (u', v') = \text{توزيع الاضاءة في مستوى} \\ \text{الصورة} \\ \text{الصورة } (x^0, y^0, u', v')^2 = \text{توزيع الاضاءة في نقطة} \\ \text{الصورة } (x^0, y^0, u', v') \text{ نتيجة عنصر المصدر عند} \\ (x^0, y^0) \text{ في مستوى المصدر الفعال 0} \\ (x^0, y^0) = \text{هي المحاور الجزيئية لعنصر المصدر} \\ \text{الفعال وتشير الى بؤبؤ الدخول لمنظومة العدسة 0} \\ u' = \left( \frac{2\pi}{\lambda} n' \sin \alpha \right), v' = \left( \frac{2\pi}{\lambda} n' \sin \alpha \right)$$

$u'$ ,  $v'$  = هما المحاور البصرية في مستوى الصورة

$(n', \alpha)$  = مسافات المحاور الحقيقية في مستوى الصورة 0

$n' \sin \alpha$  = الفتحة العددية (N.A) لمنظومة العدسة كما نراها من مستوى الصورة اذ تعد مقياسا لقدرة تحليل العدسة الشيئية 0  
 $\lambda$  = الطول الموجي للشعاع الساقط في هذه النظرية تعتمد درجة التشاكيه على الامتداد الزاوي للمصدر الفعال بالنسبة الى بعد الزاوي لبؤبؤ الدخول لمنظومة العدسة كما يقاس من مستوى الجسم ومعامل التشاكيه كما أعطى من لدن [5] (Hopkins)

$$S = \frac{(N.A.) \text{ Condenser}}{(N.A.) \text{ Lens system}} \dots (2)$$

ويتغير هذا المعامل باستمرار عند المدى  $s/\infty$  اذ ان حد التشاكيه الكامل يناظر 0 أما حالة اللاتشاكيه فالحد  $s=\infty$  ومن الشائع عمليا في حالة الميكروسكوب أن ندع كلا المكثف والشيئية لهما الفتحة العددية نفسها. أي أن  $s=1$  لتكون عملية تكون الصورة حاصلة بالضوء المتشاكيه جزئيا 0 وهذه الحالة ( $s=1$ ) تحدث أيضا وبانتظام في فحص المنظومات البصرية فضلا عن المطيافية 0- ان صورة شق له وحدة سعة عند حد التكامل من (- $u^0$ ,  $u^0$ ) وتض محل في مكان ما خارج احد التكامل ، ان الشكل الهندسي لفتحة العدسة دائري 0

$$A(u) = \begin{cases} 0 & |u| > u^0 \\ 1 & |u| < u^0 \end{cases} \dots (3)$$

من [9] Hopkin . ان الدراسات المذكورة في اعلاه مدلت جسراً بين نهايتي الحالتين المسمى بالتشاكيه التام واللامتشاكيه التام ، ولكن التقنيات الرياضية المستخدمة بالارتباط مع التشاكيه الجزيئي هي الاكثر ملائمة لاستخدامه بتحليلات الاستقطاب الجزيئي ( Partial Polarization ) اذ تم ايجاد توزيع الشدة في صورة شق المضاء المتشاكيه جزئيا وصورته المترکونة بالعدسة في حالة النظام الخالي الزيغ والنظام الذي يحتوي على زيوغ (Aberration system) وتمت مقارنة النتائج مع الباحث Barakat [10] وكانت متقدمة معها في الحالات جميعها .

درس الباحثون Salem , et al [11] وكذلك الباحثون Gbur et al [12] والباحثون Roychowdhury et al [13] في عام 2005 التغير في الاستقطاب للحرزة الكهرومغناطيسية للضوء المتشاكيه جزئياً والمنتشرة خلال الاضطراب الجوي .

اما الدراسة النظرية لتشاكيه واستقطاب الضوء في [14] الاضاءة المتشاكيه جزئياً فقد قام بها كل من [15] Fischer , Visser والباحثين wolf [16] و [17] Se Baek oh et al [18] . واستخدم May cock et al [19] الهولوكرام الرقمي للاجسام المضاءة التشاكيه الجزيئي والمترکونة بالابعاد الثلاثة . واخيراً قدم كل من [20] Mujat دراسة احصائية لحرزة الضوء المتشاكيه جزئياً .

### اشتقاق معادلة التشاكيه الجزيئي للشق المفرد (Derivation Partially Coherent Equation for A single Bar)

طبقاً للنظرية التي طورها (Hopkins) [16] فإن صورة الجسم الشفاف العاكس بصرياً تعتمد على العلاقة بين الاطوار النسبية للشعاع الساقط على الجسم ومن معرفتنا لدالة تشاكيه الطور المصاحبة للشعاع الساقط الذي يتطلب وجود المصدر الفعال . ولهذا المصدر توزيع شدة  $(x^0, y^0)$   $\gamma$  يفترض انها تضيء الجسم .

فإذا كان المصدر الاصلي ذو الامتداد يفي بالغرض ويضيء بؤبؤ الخروج للعدسة مع توزيع الشدة  $\gamma(x^0, y^0)$  ، وهي الدالة المحددة بالداخل وصفراً خارج البؤبؤ فان .

$$B' (u', v') = \iint \gamma(x^0, y^0) / \varphi(x^0, y^0, u', v')^2 dx^0 dy^0 \dots (1)$$

$$\gamma(x^0, y^0) = 1 \text{ for } x^2 + y^2 \leq S^2$$

$$y^o = r \sin \theta^o, x^o = r \cos \theta^o$$

اذ ان  $y^o = r \sin \theta^o, x^o = r \cos \theta^o$   $\therefore$  الجزء الاول من المعادلة (5)

$$\int_{-\sqrt{1-y^o_0}}^{\sqrt{1-y^o_0}} \frac{\sin u^o(x-x^o)}{(x-x^o)} dx / 2$$

$$\text{let } u^o(x-x^o) = t$$

$$x^o = \frac{x - t}{u^o} = \frac{\sqrt{1-y^o_0}}{u^o}$$

$$t = \int_{-2}^{u^o} \left[ -\int_0^{\sqrt{1-y^o_0}} \frac{\sin t}{t} dt + \int_0^{\sqrt{1-y^o_0}-x} \frac{\sin t}{t} dt \right] dx$$

$$\text{Since } \int_{-v}^v \frac{\sin y}{y} dy = \text{si}(v)$$

باستخدام صيغة اويلر (Euler formation) يمكن التعبير عن الدالة الاسية العقدية بدلالة الدوال المثلثية ، وبتعويضها في المعادلة (5) نحصل على

$\therefore$

اما السعة المعقدة في مستوى الصورة عند  $(u', v')$  نتيجة عنصر المصدر الضوئي عند  $(x^o, y^o)$  فهو

$$\varphi = \iint 4\pi \delta(y - y^o) \frac{\sin u^o(x - x^o)}{(x - x^o)} f(x, y) \exp[i(u'x + v'y)] dx dy \dots (4)$$

exit  
pupil

ان  $f(x, y)$  هي دالة البوباء

$$f(x, y) = T(x, y) \exp(ikw)$$

اذ ان  $T(x, y)$  تمثل الشفافية للبوباء وان زيج جبهة الموجة للنظام البصري يرمز له

$w(x, y)$  وعند اجراء التكامل باتجاه  $(y)$  وملحوظة ان البوباء دائري ينتج :

$$\left| \varphi \right|^2 = \int_{-\sqrt{1-y^o_0}}^{\sqrt{1-y^o_0}} \frac{\sin(x - x^o) u^o}{(x - x^o)} \exp[iu'x + ikw(x, y^o)] dx / 2$$

اذ ان  $\left| \varphi \right|^2$  تمثل توزيع الاضاءة عند نقطة الصورة  $(u', v')$  بسبب المصدر الفعال عند يمكن ايجاد توزيع الشدة في صورة الشق من

$$B(u') = N \int dA \int_0^{\sqrt{1-y^o_0}} \frac{\sin(x - x^o) u^o}{(\sqrt{1-y^o_0} - x)^2} \exp[iu'x + ikw(x, y^o)] dx / 2 r dr \dots (5)$$

$$\int_{-\sqrt{1-y^o_0}}^{\sqrt{1-y^o_0}} \exp[ikwx + iu'x] dx / 2 = \int_{-\sqrt{1-y^o_0}}^{\sqrt{1-y^o_0}} \left[ \cos(kw(x, y^o)) + i \sin(kw(x, y^o)) \right] dx / 2$$

$$C = \int_0^{2\pi} r d\theta = r \theta \Big|_0^{2\pi} = 2\pi r$$

لفرض حساب العامل العياري للمعادلة (5) فيتم عند  $u^o = 0$  والنظام الحالي من الزيج  $w(x, y) = w(x^o, y^o)$  فتصبح المعادلة (5)

$$\int_0^s 2\pi r dr = 2\pi \int_0^s r dr = 2\pi \frac{r^2}{2} \Big|_0^s = \pi s^2$$

اذ ان :  $y^o = r \sin \theta^o, x^o = r \cos \theta^o$

$$C = \int_0^{2\pi} \sqrt{\left(\frac{dx}{d\theta}\right)^2 + \left(\frac{dy}{d\theta}\right)^2} d\theta$$

و هذه المعادلة تستخدم لتقدير التكامل على محور (y) في المعادلة (5) ان Gauss weight =  $H_n$  و  $n =$  عدد النقاط ومن الجدير بالذكر ان  $(x_n, H_n)$  عند حد التكامل من  $(+1, -1)$  تم ادراجها بجدول وضعه الباحثان (Abramowitz & Stegun) الى عدد النقاط  $(N=96)$ .

وقد تم ادخال المعادلة (7) في الحاسبة الالكترونية وباستخدام لغة فورتران (Fortran 77) كما تم اختيار بعض الانظمة البصرية الحاوية على كميات وانواع من الزيوج لغرض حساب  $B(u')$  وتم هذا الاختيار بناء على سهولة تدقيق النتائج التي يتم الحصول عليها.

$$B(u') = \sum_{n=1}^{20} H_n * \pi \int_{-1}^{+1} H_i * s^2 * \sum_j H_j * u' \sqrt{1-y^2}$$

### برمجة المعادلة لتوزيع الشدة في صورة الشق في حالة التشاكه الجزئي Computer Programming of the Equation for the Distribution of Intensity in the Image of the Bar in Case of (Partial Coherent

يستخدم التكامل العددي لغرض حل المعادلة (5) للمنظومة البصرية الخالية من الزيوج او الخطأ البؤري وكذلك في حالة وجود الزيوج الامحوري او الخطأ البؤري . وتم اختيار طريقة كاووس التربيعية (Gauss quadrature) لغرض حل المعادلة (5). وقد تم استخدام (20) نقطة كاووس للحالات المذكورة سابقا ويمكن زيادة الدقة باستخدام (40) نقطة كاووس عند وجود كمية كبيرة من الزيوج الامحوريه لكونها مطلوبة وضرورية عند تقدير صور الشق . وتلخص طريقة كاووس بان الدالة متعددة الحدود  $f(x)$  ومن الدرجة  $(2n-1)$  او اقل من ذلك .

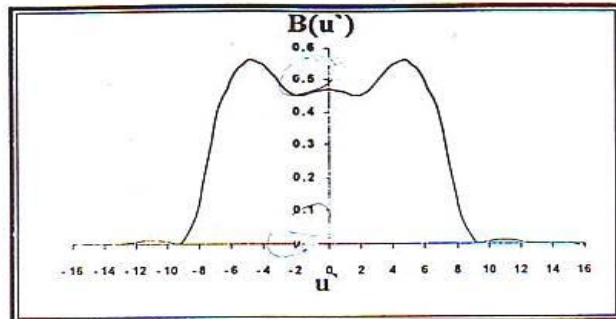
$$\int_{-1}^{+1} f(x) dx = \sum_{n=1}^{N} H_n f(x_n) \dots (6)$$

$$Sinc \left[ u \left[ x_i \sqrt{1-y_n^2} - x_j \sqrt{1-y_n^2} \right] \right] \cos \left[ k \left\{ w \left[ x_i \sqrt{1-y_n^2}, y_n \right] w \left[ x_j \sqrt{1-y_n^2}, y_n \right] \right\} \right]^2 \dots (7)$$

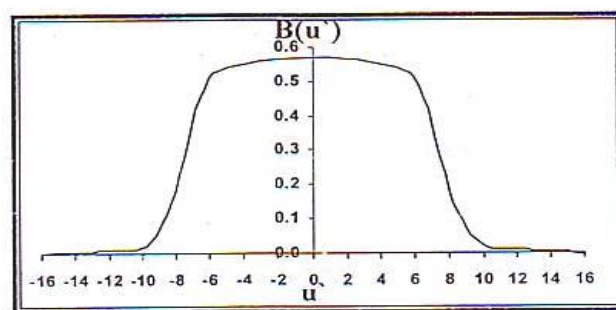
تمثل المنحنيات بشكل عام صور الجسم على شكل شق وتصبح هذه الصور اكثر تماثلاً (Symmetrical) حول نقطة  $0 = u'$  وعند  $S = 0.25$  فإن انماط الحيود تتصرف بتأثيرات متوجة (Ringing Effect) بالقرب من حافات الشق ما عدا التمايل حول  $0 = u'$  ويضمحل التذبذب بشكل سريع عند  $10 < u'$  كما في اشكال المنحنيات (1-3).

اذ ان  $(x_i, y_n, x_j, y_n)$  تمثل نقاط كاووس عند حد التكامل  $(+1, -1)$  على امتداد  $(y, x, u)$  على التوالي .

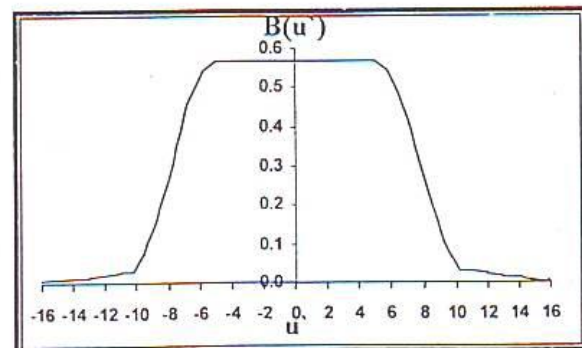
**النتائج والمناقشة :**  
أ – حالة النظام الخالي من الزيوج  
In Case of Aberration Free System



شكل (1): توزيع الشدة لصورة شق في حالة التشاكيه الجزئي وفتحة بوبو الخروج الدائرية لمنظومة بصرية خالية من الزيغ والخطأ البؤري عند معامل التشاكيه  $S = 0.25$



شكل (2): توزيع الشدة لصورة شق في حالة التشاكيه الجزئي وفتحة بوبو الخروج الدائرية لمنظومة بصرية خالية من الزيغ والخطأ البؤري عند معامل التشاكيه  $S = 1.0$



شكل (3): توزيع الشدة لصورة شق في حالة التشاكيه الجزئي وفتحة بوبو الخروج الدائرية لمنظومة بصرية خالية من الزيغ والخطأ البؤري عند معامل التشاكيه  $S = 4$

وتتحرك القمم من حافة الصورة الى الحافة الاخرى

ففي حالة الزيغ الهالي عند السمت  $\psi = 0, \frac{\pi}{4}, \frac{\pi}{2}$

تم حساب  $B(u')$  عند وجود  $(W_{31} = -2/3\lambda)$  لعرض النصف للشق  $(8 = u)$  وعند مقارنة الصورة للنظام الحالي من الزيغ والصورة المشوهة

والمحتوية على الزيغ الهالي عند السمت  $\psi = 0, \frac{\pi}{4}, \frac{\pi}{2}$  نجد ان الميل (Slope) في

### بـ- حالة النظام الذي يحتوي على الزيغ الهالي من الرتبة الثالثة

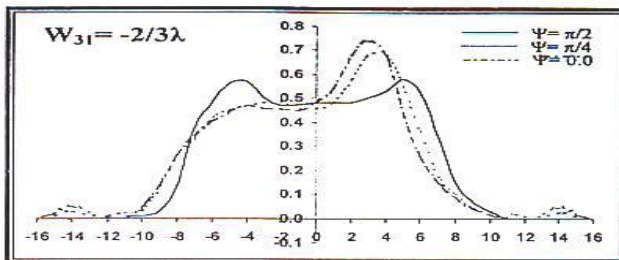
#### In Case of Third-Order Coma

ان تأثير الزيغ الامحورية (الزيغ الهالي من الرتبة الثالثة) واضحة من الاشكال (6-4) وان القمم (Peaks) العالية للصور تلاحظ بوضوح لحالات التشاكيه التام (Perfect Coherence) عندما ( $S = 0.25$ ) فعند زيادة ( $S$ ) من (0.25) الى (1.0) عندئذ تبرز هناك اعادة توزيع الاضاءة

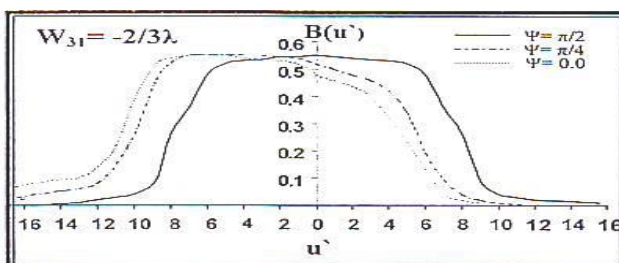
$$\left[ \Psi = \frac{\pi}{2} \right]$$

قيمة ( $S = 1.4$ ) ان السماحيات لشتريل (Strehl Type Tolerances) للزبغ الهالي هو  $W_{311} \leq 0.63\lambda$ . وقد استخدمت هذه القيمة للسماحيات في حالة التشككالجزئي. ان الالامان يكون واضحاً في الزبغ الهالي عند  $(S = 0.25)$ , ولمختلف اتجاهات السمت  $\frac{\pi}{2}$ , وللمتماثلة  $\frac{\pi}{4}$ ,  $\frac{\pi}{2}$ ,  $\frac{\pi}{4}$ ,  $\frac{\pi}{2}$ .

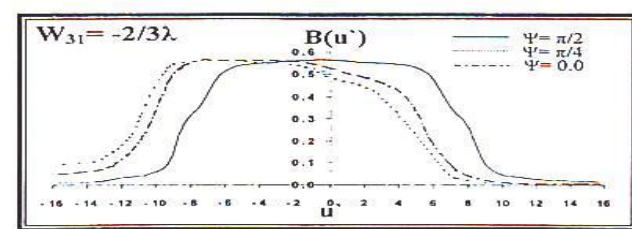
صورة النظام الحالي من الزبغ يكون اكبر منه في صورة النظام المحتوى على الزبغ فضلاً عن ان الشدة في الاتجاهات  $\Psi = 0.0$  تكون لا متماثلة بشكل كبير (Highly Asymmetric), ان المنحنيات عند ( $S = 0.25$ ) والاتجاهات  $\Psi = \frac{\pi}{2}$  تشير الى شدة عظمى اقل من المنحنيين عند ( $\Psi = 0$ ). ان الصورة تكون متماثلة (Symmetric) حول ( $u = 0$ ) وعند الاتجاه



شكل (4): توزيع الشدة لصورة شق في حالة التشككالجزئي وفتحة بؤبة الخروج الدائرية لمنظومة بصيرية تحتوى على الزبغ الهالي  $S=0.25, u_0=8.0$



شكل (5): توزيع الشدة لصورة شق في حالة التشككالجزئي وفتحة بؤبة الخروج الدائرية لمنظومة بصيرية تحتوى على الزبغ الهالي  $S=1.0, u_0=8.0$

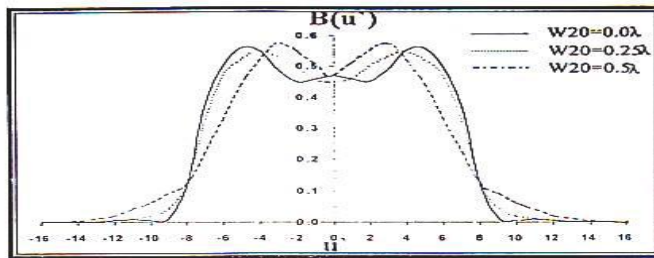


شكل (6): توزيع الشدة لصورة شق في حالة التشككالجزئي وفتحة بؤبة الخروج الدائرية لمنظومة بصيرية تحتوى على الزبغ الهالي  $S=4.0, u_0=8.0$

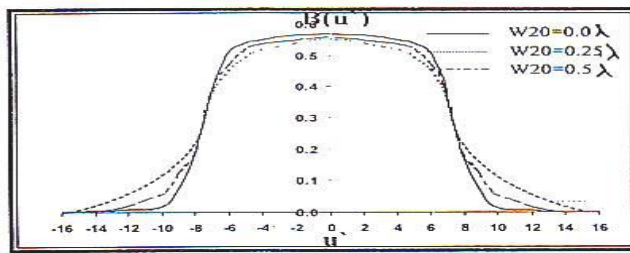
(u) > 10) فان التذبذب يضمحل بشكل سريع عندما ( $S=1$ ) فان انماط الحيود مشابهة تماماً كما حصلنا عليها عندما ( $S=4$ ) ان توزيع الشدة يصبح أكثر شبهاً بمتواري المستطيلات (Rectangular) في مظهره عندما يختزل الابورية 0 عند المرور من البؤرة ، فان منحنيات الشدة تتقطع داخل منطقة الشق الهندسي عند ظهر الجسم على شكل شق أضيق بظاهره عن حقيقته 0

### حالة النظام المحتوى على الابورية (In Case of Defocusing )

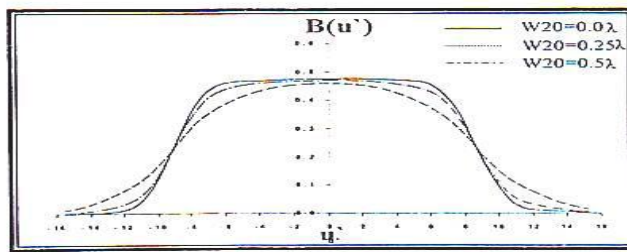
يظهر من المنحنيات المبينة في الاشكال (9-7) الخاصة بالابورية ( $W_{20} = 0.25\lambda, 0.5\lambda$ ,  $S = 0.25, 1.4$ ). ان انماط الحيود القريبة من حد التشكك (Coherent Limit) تبدو متوجة بشكل بارز (Pronounced Ringing) عند



شكل (7): توزيع الشدة لصورة شق في حالة التشكك الجزئي وفتحة بوبو الخروج الدائرية لمنظومة بصرية خالية من الزيغ وعند وجود الخطأ البؤري  $S=0.25, u_0=8.0$



شكل (8): توزيع الشدة لصورة شق في حالة التشكك الجزئي وفتحة بوبو الخروج الدائرية لمنظومة بصرية خالية من الزيغ وعند وجود الخطأ البؤري  $S=1.0, u_0=8.0$



شكل (9): توزيع الشدة لصورة شق في حالة التشكك الجزئي وفتحة بوبو الخروج الدائرية لمنظومة بصرية خالية من الزيغ وعند وجود الخطأ البؤري  $S=4.0, u_0=8.0$

يحصل التموج لأنماط الحيوود للشق المفرد عندما  $10^>u_0$  من ثم تبدو متموجة بشكل بارز (Pronounced Ringing) وعند  $10^>u$  فان التذبذب يضمرل بشكل سريع 0 2- عند المرور من البؤرة فإن منحنيات الاضاءة في الصورة تتقطع داخل منطقة الشق الهندسي عند ذلك يظهر الجسم على شكل شق أصيق بمظهره عن حقيقته في حالة النظام الحالي من الزيغ وعند وجود الخطأ البؤري 0 3- عندما ( $S=1$ ) فان أنماط الحيوود تكون مشابهة إلى حالة ( $S=4$ ) اذ أن توزيع الضوء يصبح أكثر شبهاً بمتوازي المستويات في مظهره عندما يختزل الباقي 0 4- وعند ادخال الزيغ اللامتماثل مثل الزيغ الهالي من الرتبة الثالثة الى النظام البصري فإن ذلك يؤدي الى ازاحة ظاهرة (Pronounced Displacement) للصورة بعيداً عن جسم الشق فضلاً عن تغيرات في شكل الصورة 0

#### د - حالة النظام المحتوى على الزيغ الكروي ( Aberration In Case of Spherical )

بعد الزيغ الكروي ذا أهمية كبيرة بوصفه الزيغ الوحيد الذي يحصل عندما يكون الجسم على المحور البصري ولتأثيره المباشر في التباير 0 وقد تم ادخال كمية من الزيغ الكروي لمنظومة البصرية ( $W_{40} = 0.5\lambda$ ) وكانت النتائج مقاربة نوعاً ما الى نتائج المنظومة البصرية المحتوية على الباقي وقد أهلت النتائج العددية والأسكار بحسب التشابه المذكور 0

#### الاستنتاجات:

فيما يأتي ندرج أهم الاستنتاجات :-  
1- تبين أن درجة التشكك ( $s=0.25$ ) للنظام الحالي من الزيغ  $W=0$  وكذلك النظام الذي يحتوي على خطأ بؤري ( $W_{20} = 0.25\lambda, 0.5\lambda$ )

- Polarization changes in partially coherent electromagnetic beams propagating through turbulent atmosphere, " waves in Random media 14 (14) : 513 – 523 .
- 12.** Gbur G. and Korotkova O, 2007. " Angular spectrum representation for propagating of arbitrary coherent and partially coherent beams through atmospheric turbulence " , J. Opt. Soc. Am. A24, 745 – 752 .
- 13.** Roychowdhury H. Ponomarenko SA, WOLF E.2005. change in polarization of partially coherent electromagnetic beams propagating through the turbulent atmosphere. J. Mod. Opt. 52 : 1611 – 1618
- 14.** WOLF E. , 2007 " Introduction to the Theory of coherence and polarization of Light. " Cambridge U. Press, 15, USA, PP168 .
- 15.** Fischer DG. , Visser TD. , 2004 " spatial correlation properties of focused partially coherent light . " , J. Opt. Soc. Am. , 21 : 2097 – 2102 .
- 16.** SeBaek Oh. , Barbasta this G. , Raskar R. , April 6,2009 , " Augmenting light field to model wave optics effect . " 12, USA , PP 354 .
- 17.** Vladlen Sh. , wieslaw K. , Alexander V. , Dragomir N. , August 2005 . " Focusing and correlation properties of white – light optical vortices (physics . optics) 11 : 120 – 146 .
- 18.** Castaneda R. , August 2008, " phase space Representation of spatially Patially coherent imaging . " Applied optics , 47 (22) : E 53 – E 62
- 19.** May cock J, Mc Elhinney C.P, Hennclly B.M., Naughton T.J., MC Donald J. B. and Javid B.2006., "Reconstruction of 5-تأثير الزيوج الامحورية مثل الزيغ الهالى نلاحظ ان القم العالية للشدة في الصورة تكون واضحة عندما يكون عامل التشاكه قريبا من التشاكه التام ( $S=0,25$ ) وعند زيادة ( $S=1$ ) ، يبرز اعادة توزيع الاضاءة وتتحرك القم من حافة الصورة الى الحافة الاخرى 0
- المصادر :**
- 1.** Fimia A, and Belendez A.1992 , Holographic system for copying holograms by using partially coherent Light „ Appl . Opt . 31 , 3312.
  - 2.**Fossey E . and Pincus A.1992, "Covariance of the received intensity of a partially coherent Laser soeckle pattern in the turbulent atmosphere " Appl . Opt . 31, 1286.
  - 3.**Tanaka K. and Toshiyuki T .1992.," Heterodyne efficiency for a partially coherent optical signal" Appl. Opt. 31, 539 .
  - 4.**Marechal, A1948. application of coherence theory in microscopy and interferometry Thesis, University of Paris, france, pp62.
  - 5.**Hopkins, H. H. 1955 "The frequency response of a defocused optical system " , Proc. Roy. Soc. A 231, 91.
  - 6.**M.De, 1956 "The influence of astigmatism on the response function of an optical system " , Proc. Roy. Soc. A233, 91.
  - 7.**Airy G. B. Born M , wolf E.1984 principle of optics pergammon press. New york . pp470
  - 8.**Verdet E.A.1965 L, ecole nowmale superieure, lecone D, optique physique paris, 2, pp291.
  - 9.**Hopkins , H.H .1951. the concept of partial coherence in optics, proc roy. Soc. A208,263.
  - 10.**Barakat R., 1970 " Partially coherent imagery in the presence of aberrations", Optica Acta 17, 337.
  - 11.**Salem M. , Korotkova O. , Dogariu A and Wolf E .2004.

- 20.** Mujat C. , Dogariu A., 2004 , " statistics of partially coherent beams : a numerical analysis , J. opt . soc. Am , A,21 : 1000 -1003 partially occluded objects encoded in three dimensional scence by using digital holograms". Applied optics, 45 (13) : 2975-2985 .

## **Effect of Partial Coherence illuminated bar on evaluation technique of diffraction image**

***Hamed M. Amin\****

***Haifaa Gh ,, Rashid\*\****

***Aseel B. Abdul AL- Hussein\*\*\****

\*College of Science \ Baghdad University

\*\*College of Education AL- Mustansirya University

\*\*\*University of Technology

### **Abstract:**

In this work, we are obviously interested in a general solution for the calculation of the image of a single bar in partially coherent illumination. The solution is based on the theory of Hopkins for the formation of images in optical instruments in which it was shown that for all practical cases, the illumination of the object may be considered as due to a self – luminous source placed at the exit pupil of the condenser , and the diffraction integral describing the intensity distribution in the image of a single bar – as an object with half – width ( $U_0 = 8$  ) and circular aperture geometry is viewed , which by suitable choice of the coherence parameters ( $S=0.25,1.0.4.0$ ) can be fitted to the observed distribution in various types of microscope , the aberration were restricted to defocusing and coma upto third – order , the method of integration was Gauss quadrature: The necessary set of integration depends , of course , on the amount of present aberrations and had to be chosen (20) points of Gauss which decrease the computation time to few seconds: The aberration free systems corresponding to the paraxial receiving plane ( $W_{20}= 0.0$ ) is especially interesting as it predicts diffraction pattern shape. The influence of defocusing is very pronounced and relatively distorts the object , the influence of the off – axis aberration (third – order coma ), in which it was shown that for the high peaks in the images are most noticeable in the region of almost perfect coherence ( $S=0.25$ ). As ( $S$ ) is increased from (0.25) to (1.0) there is a pronounced redistribution of intensity, with peaks moving from one side of the image to the other.

Calculations were also performed for systems having spherical aberration, but the results are qualitatively similar to an aberration – free defocused system and are omitted, so we will not present any numerical results.

A computer program was written in FORTRAN 77 which solved the modified intensity distribution of Hopkins for( $U'$ ) dimensionless distance. The advantage of that additional work on this class of problems to investigate the development of more efficient numerical methods, also the reduction in computation time to few seconds for data runs for individual curves of intensity.